



مدل‌سازی فرونشست میدان پارس‌جنوبی با روش‌های تحلیلی و نیمه تحلیلی

سید محمود فاطمی عقدا^{۱*}، اکبر قاضی فرد^۲، محمدحسین طاهری‌نیا^۱

پذیرش مقاله: ۹۲/۱۰/۰۴

دريافت مقاله: ۹۱/۱۲/۰۳

چکیده

برداشت از مخازن نفت و گاز افت فشار منفذی این مخازن را به دنبال خواهد داشت و در نتیجه میزان فشار مؤثر ناشی از وزن سنگ‌های روباره مخزن افزایش یافته و باعث تراکم مخزن می‌گردد. در صورتی که میزان تراکم سنگ مخزن از حد معینی فراتر رود سنگ‌های روباره در اثر وزن خود شروع به فرونشست خواهد کرد. با توجه به اهمیت میدان گازی پارس‌جنوبی و مشترک بودن این میدان بین ایران و قطر، محاسبه و مدل‌سازی فرونشست سطح میدان که می‌تواند تأثیر بسزایی در عملیات بهره‌برداری از این میدان داشته باشد از اهمیت بالای برخوردار است. در این پژوهش ابتدا با استفاده از تئوری تراکم تکمحوره‌ی، تراکم مخزن پارس‌جنوبی در انتهای دوره‌ی برداشت محاسبه شده و سپس با استفاده از روش مدل‌سازی تحلیلی و نیمه‌تحلیلی (با استفاده از نرم‌افزار AEsubs) فرونشست ایجاد شده در سطح میدان در اثر تراکم مخزن تعیین گردید. بر اساس مطالعات انجام شده مقدار تراکم مخزن پارس‌جنوبی در پایان دوره‌ی برداشت در حدود ۵/۰ متر و بیشتر فرونشست ایجاد شده در سطح این میدان بر اساس دو روش مدل‌سازی بیش از ۶/۰ متر برآورد گردیده است.

کلید واژه‌ها: فرونشست، میدان پارس‌جنوبی، مدل‌سازی، سنگ مخزن، مراکز کرنلش

۱. گروه زمین‌شناسی، دانشکده علوم، دانشگاه خوارزمی، تهران، ایران fatemi@knu.ac.ir

۲. گروه زمین‌شناسی، دانشکده علوم، دانشگاه اصفهان، اصفهان، ایران

* مسئول مکاتبات

2013) با توجه به اینکه در بسیاری از موارد میدان‌های هیدرولوکربنی در مناطق ساحلی قرار دارند فرونشست این میدادین می‌تواند باعث ایجاد سیل و زیر آب رفتن این مناطق گردد. فرونشست ایجاد شده در سال ۱۹۸۰ در میدان‌های نفتی سواحل شرقی دریاچه ماراکایبو (Maracaibo) در کشور ونزوئلا باعث زیر آب رفتن بیش از 450 km^2 از زمین‌های ساحلی این دریاچه گردیده است (Atefi Monfared, 2009).

بهره‌برداری از میدان گازی گرونینگن (Groningen) در کشور هلند منجر به ایجاد ۲۴/۵ سانتی‌متر فرونشست در سطح زمین در سال ۲۰۰۴ (Schoustra, 2004) گردید. اگرچه مقدار فرونشست گزارش شده در این میدان بسیار اندک به نظر می‌رسد، اما با توجه به اینکه مناطق وسیعی در کشور هلند پایین‌تر از سطح دریا قرار داشته و توسط سدها محافظت می‌گردند، این فرونشست کوچک می‌تواند به فاجعه‌ای بزرگ منجر شود (Nagel, 2001).

همچنین تراکم مخزن و فرونشست سطح میدان می‌تواند باعث تشکیل و توسعه شکستگی‌هایی در پوش‌سنگ گردد که نهایتاً منجر به از دست‌رفتن قابلیت نگهدارندگی پوش‌سنگ و ایجاد مسیرهایی برای نشت نفت و گاز گردد (Gurevich and Chilingarian, 1995).

اولین قدم برای پیش‌بینی فرونشست سطح یک میدان برآورد میزان تراکم مخزن آن است. به طورکلی، میزان تراکم مخزن تابعی از افت فشار ایجاد شده در مخزن، تراکم‌پذیری سنگ مخزن و ضخامت مخزن (ارتفاع زون مورد استخراج) است. گام بعدی برای تعیین فرونشست یک میدان مدل‌سازی از اثر تراکم مخزن در سطح میدان است. تا کنون روش‌های مختلفی جهت مدل‌سازی فرونشست میدان ارائه شده است که از آن جمله می‌توان به مدل تحلیلی مراکز کرنش ارائه شده توسط Geertsma (1973) اشاره نمود. هر چند با استفاده از این مدل می‌توان تخمین قابل قبولی از فرونشست میدان به دست آورد، ولی این مدل توانایی شبیه‌سازی کامل شرایط ژئومکانیکی مخزن و لایه‌های سرباره‌ی آن را ندارد. از این‌رو در سال‌های اخیر روش‌های عددی مختلفی جهت مدل‌سازی فرونشست

۱. مقدمه

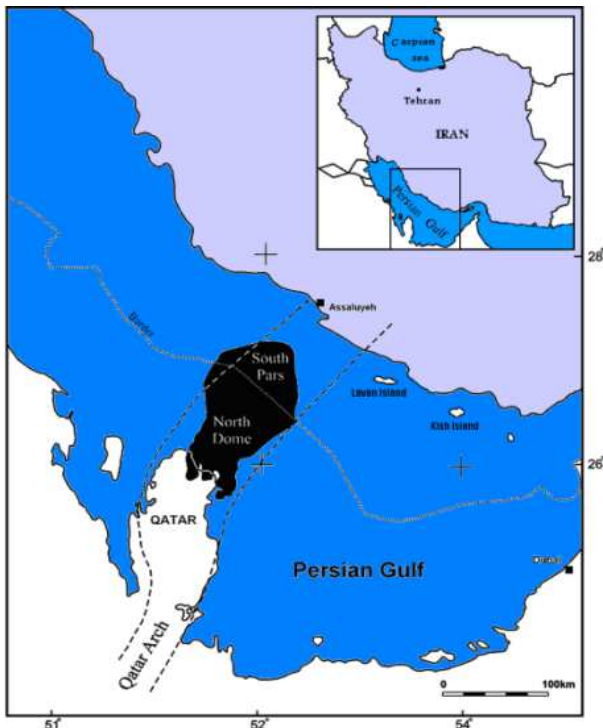
پیش‌بینی خطرات زمین‌شناسی احتمالی که در طول احداث و بهره‌برداری از یک پروژه آن را تهدید می‌کند از اهمیت بالایی برخوردار است. در بسیاری موارد در حالیکه پیش‌بینی و جلوگیری از وقوع این خطرات نیازمند صرف وقت و هزینه‌ی بسیار پایینی است عدم توجه کافی و برنامه‌ریزی اصولی خسارت‌های مالی و جانی جبران‌ناپذیری را به دنبال داشته است. در پروژه‌های عظیم نفتی با توجه به اهمیت زیاد آنها در اقتصاد و توسعه‌ی کشور ضرورت انجام این مطالعات بیش از پیش آشکار می‌گردد. یکی از مخاطرات رخ داده در میدادین مختلف سراسر دنیا که تأثیر بسزایی در عملکرد میدان داشته و در برخی موارد باعث ایجاد خسارت‌های بسیار سنگینی شده است، فرونشست سطح میدان می‌باشد. برطبق تعریف انتستیتو زمین‌شناسی ایالات متحده، پدیده فرونشست زمین شامل فروبریزش یا نشت رو به پایین سطح زمین است که می‌تواند دارای بردار جابه‌جایی افقی اندکی باشد (Poland et al., 1972). یکی از مثال‌های شناخته شده از فرونشست میدادین هیدرولوکربنی میدان اکوفیسک (Ekofisk) در کشور نروژ است. بستر دریا در زیر سکو ایکوفیسک در سال ۱۹۸۴ بیش از ۳/۵ متر فرونشست کرد، و باز گرداندن سکو به حالت قبل ۱ میلیارد دلار آمریکا هزینه در پی داشت (Sulak, 1991). فرونشست این میدان در پایان سال ۲۰۰۰ به ۶/۷ متر رسید (Hermansen et al., 2000). وسعت جام فرونشست ایجاد شده در این میدان برابر با ۵۰ کیلومترمربع و حجم توده‌ی سنگی سرباره‌ی جابه‌جا شده در حدود ۱۵۰ کیلومتر مکعب گزارش گردیده است (Marte et al., 1994). تراکم میدان دولومیتی کالیفرنیا باعث شکست چاههای حفر شده گردید، که تعداد آن‌ها در برخی موارد به ۳۰ الی ۲۰ درصد از کل تعداد چاههای حفر شده در میدان می‌رسد (Settari, 2002) بهره‌برداری از میدان نفتی ویلمینگتون در لانگ بیچ (Long Beach) کالیفرنیا باعث ایجاد فرونشستی در حدود ۸/۸ متر گردید (Kosloff et al., 1980). خسارات ایجاد شده در اثر این فرونشست بیش از یکصد میلیون دلار برآورد گردیده است (Zeitoun and Wakshal,

۳. محاسبه‌ی تراکم مخزن

تئوری تراکم تکمحوره، تئوری پذیرفته شده در محاسبه‌ی تراکم مخزن میباشد. براساس این تئوری تراکم مخزن فقط در اثر کاهش ارتفاع آن رخ داده و ابعاد جانبی مخزن در طول تراکم آن ثابت باقی خواهد ماند (Geertsma, 1973). میزان تراکم مخزن و یا به عبارتی کاهش ارتفاع آن (Δh) برابر است با:

$$\Delta h = HCm \alpha \Delta p \quad (1)$$

در این رابطه H ارتفاع اولیه‌ی مخزن، Cm ضریب تراکم تکمحوره‌ی سنگ مخزن، Δp کاهش فشار مخزن و α ضریب بیوت (Biot) سنگ مخزن می‌باشد.



شکل ۱. موقعیت جغرافیایی میدان پارس جنوبی

ضریب تراکم‌پذیری تک محوره بیان‌کننده میزان تراکم واحد ارتفاع سنگ مخزن به ازای واحد افت فشار است و معمولاً بر حسب cm^2/kg بیان می‌گردد. ضریب تراکم‌پذیری به عواملی مختلفی همچون نوع سنگ، درجه سیمانی شدگی، تخلخل و عمق دفن شدگی سنگ وابسته است. ضریب تراکم پذیری مخزن را می‌توان به طور مستقیم از آزمایش ادیومتری و یا به

میادین هیدرولوکرینی ارائه شده است (Fredrich et al., 2000; Sroka and Hejmanowski, 2006). استفاده از روش‌های عددی نیازمند دسترسی به اطلاعات کامل و دقیق از مخزن و سرباره آن بوده و بسیار زمانبر می‌باشد. با توجه به نقاط ضعف و قوت روش مدل‌سازی تحلیلی (دارای دقت پایین ولی بسیار ساده) و روش مدل‌سازی عددی (با دقت بالا و در مقابل پیچیدگی بالا)، (Fokker and Orlic, 2006) روش مدل‌سازی نیمه تحلیلی را ارائه نمودند. این روش قابلیت مدل‌سازی محیط چندلایه با خصوصیات ژئومکانیکی مختلف را دارا بوده و از طرف دیگر بسیار ساده‌تر از روش عددی می‌باشد.

با توجه به اهمیت میدان گازی پارس جنوبی و در نتیجه ضرورت پیش‌بینی هرگونه رخداد تأثیرگذار بر عملیات بهره‌برداری از این میدان، در این مقاله به بررسی و مدل‌سازی فرونشست احتمالی این میدان در پایان دوره‌ی برداشت پرداخته شده است. در این راستا ابتدا میزان تراکم مخزن پارس جنوبی بر اساس خصوصیات ژئومکانیکی لایه‌های مخزنی این میدان تعیین شده و سپس با استفاده از دو روش تحلیلی و نیمه تحلیلی فرونشست این میدان مدل‌سازی گردیده است.

۲. وضعیت زمین‌شناسی میدان پارس جنوبی

میدان گازی پارس جنوبی در فاصله ۱۰۵ کیلومتری جنوب غربی بندر عسلویه در موقعیت جغرافیایی ۵۲°۵ تا ۵۲°۶ درجه شرقی و ۲۷°۵ تا ۲۷°۶ درجه شمالی در خلیج فارس قرار دارد. این میدان دارای مساحتی در حدود ۹۷۰۰ کیلومترمربع است که حدود ۳۷۰۰ کیلومترمربع آن در آبهای جمهوری اسلامی ایران واقع شده است. موقعیت جغرافیایی این میدان در شکل ۱ نشان داده شده است. از دیدگاه زمین‌شناسی این میدان در پهنه‌ی زاگرس واقع شده و دو سازند دالان و کنگان به سن پرمیان-تریاس مخزن و سازند دشتک به سن تریاس پسین پوش سنگ این میدان را می‌سازد.

با توجه به جدول ۱ میزان تراکم کل مخزن در پایان دوره برداشت تقریباً برابر با 5% متر می‌باشد.

جهت مقایسه، ضریب تراکم‌پذیری تکمحوره مخزن گروینینگن در حدود 1×10^{-5} bar 0 تا 75% و ضخامت متوسط این مخزن 170 متر گزارش شده است. فشار اولیه‌ی مخزن گروینینگن $34/7$ MPa بوده که در اثر برداشت در سال 2005 به $12/5$ MPa رسید. بنابراین، میزان تراکم این مخزن بین 17 و 28 سانتی‌متر است. بیشنه فرونشست ثبت شده در سطح این میدان در سال 2005 در حدود 25 سانتی‌متر گزارش گردیده است (Ketelaar, 2009).

۴. مدل‌سازی فرونشست میدان با استفاده از روش تحلیلی برای به دست آوردن برآورد کلی از فرونشست، دانستن چگونگی گسترش تغییر شکل حاصل از تراکم مخزن در سراسر سرباره و محیط احاطه‌کننده آن ضروری می‌باشد. اولین تلاش برای رسیدن به یک آنالیز ریاضی برای مدل‌سازی فرونشست ناشی از تخلیه‌ی مخازن گاز و نفت توسط (McCann and Wilts, 1951) صورت گرفت. هدف این مطالعات مدل‌سازی فرونشست میدان ویلمینگتون بود. این محققان نتایج حاصل از دو مدل مرکز کشش و مدل گیره‌ی عمودی (شکل ۲ مدل مرکز کشش را نشان می‌دهد) را مورد بررسی قرار دادند. هر دو مدل بر اساس رفتار الاستیک خطی ارائه گردیده بود. مقایسه‌ی نتایج حاصل از این مدل با مشاهدات میدانی مشخص ساخت که مدل مرکز کشش نشان‌دهنده‌ی تصویری دقیقاً همانند رفتار میدان است، در حالیکه مدل گیره‌ی عمودی نتایج قابل قبولی را به همراه ندارد. لیکن این محققان نتوانستند توضیح قابل قبولی برای توجیه شباهت مدل مرکز کشش به رفتار طبیعی ارائه کنند و محاسبات نادرستی را با استفاده از مدل مرکز کشش پایه‌گذاری کردند. (Geertsma, 1973) مدل مرکز کشش ارائه شده توسط (McCann and Wilts, 1951) را مورد بازیبینی قرار داد و یک مدل بسیار کارآمد به نام مدل مرکز کرنش را برای مدل‌سازی فرونشست حاصل از تراکم مخزن ارائه نمود. ایده‌ی

صورت غیرمستقیم با استفاده از مدل‌های الاستیته سنگ مخزن (با فرض رفتار پرواالاستیک مخزن و عدم ایجاد تغییر شکل پلاستیک) با استفاده از رابطه (Fjær et al., 2008) ۲ محاسبه نمود:

$$Cm = \frac{1}{E} \frac{(1+\nu)(1-2\nu)}{1-\nu} \quad (2)$$

در این رابطه E مدول یانگ سنگ مخزن و ν ضریب پواسون سنگ مخزن می‌باشد.

ضریب بیوت سنگ مخزن را می‌توان با استفاده از رابطه (Detournay and Cheng, 1993) محاسبه نمود:

$$a = 1 - \frac{K_{fr}}{K_s} \quad (3)$$

در این رابطه K_{fr} مدول بالک چارچوب یا مدول چارچوب (Frame modulus) و K_s مدول بالک دانه‌های جامد (grains) می‌باشد.

مخزن پارس‌جنوبی دارای لیتوفاسیس‌های متنوع و فراوانی می‌باشد ولی در مجموع ۶ لیتوفاسیس شاخص در این میدان قابل شناسایی می‌باشد. ضریب بیوت، ضریب تراکم‌پذیری تکمحوره و میزان تراکم این ۶ لیتوفاسیس (در صورت عدم رخداد تغییر شکل پلاستیک) در پایان دوره‌ی برداشت در جدول ۱ ارائه گردیده است. علاوه بر رابطه (Geertsma, 1973) نمودارهایی را جهت تخمین ضریب تراکم‌پذیری تکمحوره بر مبنای تخلخل سنگ مخزن، عمق و جنس آن ارائه نمود. با استفاده از این نمودارها ضریب تراکم‌پذیری تکمحوره‌ی مخزن پارس‌جنوبی در حدود 10^{-4} bar 0 می‌باشد.

جدول ۱. ضریب تراکم‌پذیری تکمحوره و میزان تراکم

لیتوفاسیس‌های شاخص مخزن

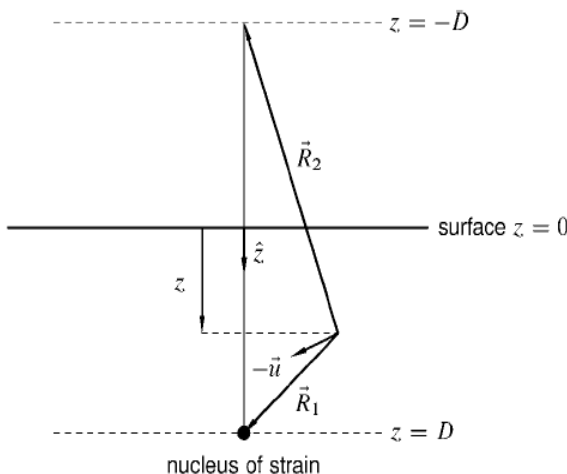
لیتوفاسیس	α	Cm (bar $^{-1}$)	Δh (m)
گرینستون (درشت‌دانه)	۰/۸۹	۰/۰۰۰۰۱۰۷	۰/۰۴۳
مادستون	۰/۸۳	۰/۰۰۰۰۰۲۴	۰/۰۸۷
پکستون (ریز‌دانه)	۰/۸۲	۰/۰۰۰۰۰۳۱	۰/۰۴
گرینستون توده‌ای	۰/۸۵	۰/۰۰۰۰۱۳	۰/۲۰۱
پکستون (درشت‌دانه)	۰/۹۳	۰/۰۰۰۰۰۷۴	۰/۱۰۱
گرینستون (ریز‌دانه)	۰/۸۷	۰/۰۰۰۰۰۳۸	۰/۰۲۶

موردنیاز را با استفاده از راه حل‌های ترمومالاستیسیته در رابطه‌ی ۶ اعمال نمود و این رابطه را به صورت رابطه ۷ کامل نمود:

(۷)

$$\vec{u} = \frac{Cm}{4\pi} \left(\frac{\vec{R_1}}{R_1^3} + (3 - 4\nu) \frac{\vec{R_2}}{R_2^3} - \frac{6z(z = D)}{R_2^5} \frac{\vec{R_2}}{R_2^3} + \frac{2\hat{z}}{R_2^3} [(3 - 4\nu)(z + D) - z] V\alpha\Delta p_f \right)$$

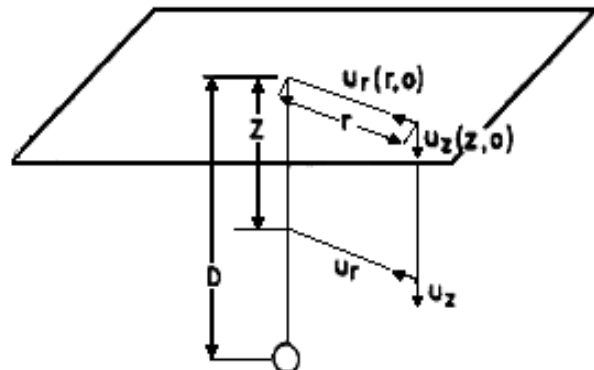
هنده و پارامترهای رابطه‌ی فوق در شکل ۳ ارائه گردیده است. عبارت اول این رابطه حاصل از بسط رابطه‌ی ۶ می‌باشد، در صورتی که بقیه‌ی عبارات، عبارات الحاقی جهت تأمین تنش عمودی صفر در سطح زمین می‌باشند (Fjær et al., 2008).



شکل ۳. مدل مرکز کرنش و پارامترهای استفاده شده در رابطه‌ی ۷ (Fjær et al., 2008)

۴-۱. مدل‌سازی فرونشست یک میدان دیسک شکل بیشینه جابجایی عمودی ممکن در امتداد محور مرکزی میدان رخ خواهد داد. بنابراین تعیین مقدار این جابجایی از اهمیت خاصی برخوردار است. برای تعیین این جابجایی می‌توان مؤلفه‌ی عمودی جابجایی ناشی از تراکم یک المان کروی شکل از مخزن را با استفاده از رابطه‌ی ۷ تعیین و سپس روی مخزن انگرال‌گیری کرد. در این محاسبات مجموعه‌ای از مرکز کرنش در عمق D فرض می‌شود و برای به دست آوردن نتایج نهایی در ارتفاع مخزن (H) ضرب می‌گردد. نتیجه نهایی این محاسبات به صورت رابطه ۹ می‌باشد:

اصلی این مدل محاسبه‌ی فرونشست حاصل از تراکم یک کره‌ی کوچک، و سپس محاسبه‌ی کل فرونشست میدان با جمع کردن تأثیر تعداد زیادی از این کره‌ها می‌باشد. این مدل محدود به مواردی است که بین خصوصیات الاستیک مخزن و اطراف آن تفاوتی وجود نداشته باشد.



شکل ۲۰. تصویری شماتیک از مدل مرکز کشنش (Geertsma, 1973)

بر طبق مدل مرکز کرنش جابجایی شعاعی $u(r)$ در فاصله‌ی r از مرکز یک کره‌ی تخلیه شده با شعاع R_0 که جابجایی u_0 در سطح آن رخ داده برابر است با:

$$u(r) = u_0 \frac{R_0^2}{r^2} \quad (4)$$

جابجایی رخ داده در سطح یک کره‌ی تخلیه شده به حجم V در نتیجه‌ی رخ داد کاهش فشار Δp در آن برابر است با:

$$u_0 = -\frac{CmV\alpha\Delta p}{4\pi R_0^2} \quad (5)$$

با جایگزین کردن رابطه ۴، رابطه ۶ بصورت زیر حاصل می‌گردد:

$$u(r) = -\frac{Cm}{4\pi} V\alpha\Delta p \frac{1}{r^2} \quad (6)$$

با استفاده از این رابطه می‌توان میدان جابجایی در اطراف یک کره‌ی تخلیه شده در یک محیط نامحدود و همگن را تعیین نمود.

در محیطی با پارامترهای الاستیسیته‌ی یکسان و همگن (محیط یک لایه)، تنها شرایط مرزی به صفر رسیدن تنش (کشنشی) عمودی (σ_{zz}) در سطح زمین ($Z=0$) می‌باشد، ولی رابطه‌ی ۶ این شرط را برآورده نمی‌کند. (Geertsma (1973) شرایط مرزی

۵. مدل‌سازی نیمه‌تحلیلی

مدل‌سازی نیمه‌تحلیلی را می‌توان یکی از جدیدترین روش‌های مدل‌سازی فرونشست میادین هیدرولوگی دانست. مزیت اصلی این روش نسبت به روش‌های تحلیلی دقت بالاتر و همچنین انعطاف‌پذیری آن با شرایط پیچیده‌ی مخزن و سرباره می‌باشد. در این روش امکان مدل‌سازی محیط‌های چند لایه با خصوصیات رئومکانیکی کاملاً متفاوت وجود دارد. از سوی دیگر این روش بسیار ساده‌تر و نیازمند صرف وقت بسیار کمتری نسبت به روش‌های عددی پیچیده می‌باشد (Fokker and Orlic, 2006). در این پژوهش از نرم‌افزار Fokker and Orlic (2006) طراحی شده بر اساس روش نیمه‌تحلیلی AEsups پارس‌جنوبی استفاده گردیده است.

در روش نیمه‌تحلیلی، از روش‌های تحلیلی جهت حل معادلات الاستیستیه استفاده می‌گردد. دو معادله‌ی اصلی تئوری الاستیستیه خطی، قانون هوک و معادله تعادل می‌باشد. قانون هوک در محیط پرواالاستیک به صورت رابطه ۱۲ ارائه می‌گردد:

$$\sigma_{ij} = 2G\epsilon_{ij} + \left[\frac{2G}{1-2\nu} \epsilon_{kk} - \alpha \Delta p \right] \delta_{ij} \quad (12)$$

در این رابطه σ_{ij} مولفه‌های تنش، ϵ_{ij} مولفه‌های کرنش، Δp تغییرات فشار، G مدول برشی، ν ضریب پواسون، α ضریب بیوت و δ_{ij} دلتای کرونکر می‌باشد. و معادله تعادل به صورت رابطه ۱۳ می‌باشد:

$$\partial_j \sigma_{ij} = 0 \quad (13)$$

رابطه ۱۲ و ۱۳ با در نظر گرفتن شرایط مرزی و فصل مشترک لایه‌ها کامل می‌شوند. در محیطی با پارامترهای الاستیستیه متفاوت (مانند محیطی متشکل از لایه‌های با خصوصیات متفاوت)، شرایط مرزی شامل به صفر رسیدن تنش‌های کششی (ui3) در سطح زمین، و ادامه یافتن کشش و جابه‌جایی (ui) در فصل مشترک لایه‌ها می‌باشد، به عبارت دیگر:

$$u_Z = -\frac{1}{2} \Delta h \left[3-4\nu + \frac{D-Z}{|D-Z|} - \frac{D-Z}{\sqrt{R^2 + (D-Z)^2}} - \frac{(D+Z)(3-4\nu)}{\sqrt{R^2 + (D+Z)^2}} + \frac{2R^2 Z}{(R^2 + (D-Z)^2)^{3/2}} \right] \quad (14)$$

فرونشست سطح در مرکز میدان را می‌توان با قرار دادن $Z=0$ در رابطه ۸ محاسبه نمود:

$$u_z = 2C_m h \alpha \Delta p_f (1-\nu) \left(1 - \frac{D}{\sqrt{D^2 + R^2}} \right) \quad (9)$$

فرونشست نقاطی خارج از محور مرکزی یک میدان دیسک شکل را می‌توان با استفاده از رابطه ۱۰ تعیین نمود:

$$u_z(r,0) = -2\Delta h(1-\nu)A(\rho,\eta) \quad (10)$$

در این رابطه $r/R = \rho$ و $\eta = D/R$ می‌باشد و A انتگرال توابع بیسل (Bessel functions) بوده و برابر است با:

$$A = R \int_0^\infty J_1(aR) J_0(ar) e^{-Da} da \quad (11)$$

در این رابطه J_0 و J_1 تابع بیسل از مرتبه صفر و یک می‌باشند (Geertsma, 1973).

مقدار انتگرال A را می‌توان از جدول ۲ بر اساس دو نسبت ρ و η تعیین نمود.

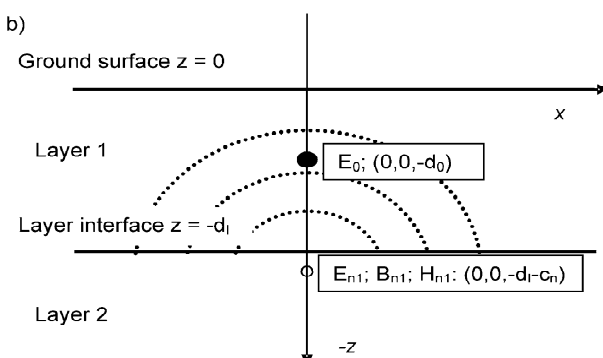
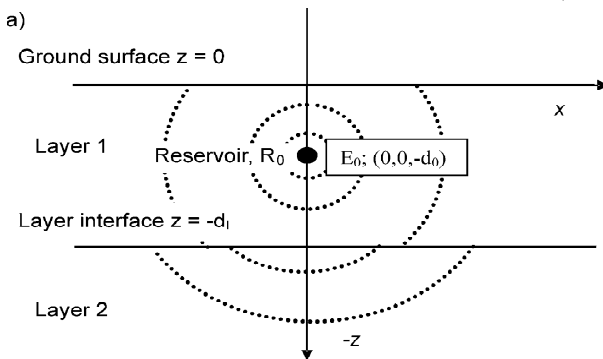
جدول ۲. مقادیر ضریب A برای نسبت‌های مختلف ρ و η

(Geertsma, 1973)					
$\rho \backslash \eta$	۰	۰/۲۵	۰/۵	۰/۷۵	۱
۰	۱	۰/۷۵۷۵	۰/۰۵۲۸	۰/۴	۰/۲۹۲۹
۰/۲۵	۱	۰/۷۴۶۹	۰/۰۳۹۰	۰/۳۸۸۴	۰/۲۸۴۹
۰/۵	۱	۰/۷۰۷۹	۰/۰۴۹۳۷	۰/۰۵۳۳۲	۰/۲۶۰۶
۰/۷۵	۱	۰/۶۰۶۲	۰/۰۴۰۶۸	۰/۰۲۹۵۱	۰/۰۲۲۳۳
۱	۰/۵	۰/۰۳۶۲۵	۰/۰۲۸۱۵	۰/۰۲۲۲۸	۰/۱۷۸۷
۱/۲۵	۰	۰/۱۴۰۹	۰/۰۱۶۰۹	۰/۰۱۵۴۲	۰/۱۳۵
۱/۵	۰	۰/۰۰۶۳	۰/۰۰۹۵	۰/۰۱۰۲۶	۰/۰۰۹۸۵
۱/۷۵	۰	۰/۰۰۳۴	۰/۰۰۵۷۴	۰/۰۰۶۸۶	۰/۰۰۷۱۲
۲	۰	۰/۰۰۲۰۷	۰/۰۰۳۷	۰/۰۰۴۷۱	۰/۰۰۵۱۹
۵/۲	۰	۰/۰۰۰۹۵	۰/۰۱۷۹	۰/۰۰۲۴۵	۰/۰۰۲۸۹
۳	۰	۰/۰۰۰۵۲	۰/۰۱	۰/۰۱۴۲	۰/۰۱۷۴

$$F_{dipole} = kH \frac{1}{R} \quad (21)$$

ثابت‌های B، E و H نشان‌دهنده‌ی مقاومت مراکز کمکی هستند.

تعدادی از این مراکز در فواصل متفاوتی از فصل مشترک لایه‌ها در طول محور Z در نظر گرفته می‌شوند. میدان هسته‌های کمکی قرار گرفته در پایین فصل مشترک، در بالای سطح مشترک و میدان هسته‌ی بالای فصل مشترک در پایین آن اعمال می‌گردد. اعمال بخشی میادین اضافی موجب ایجاد ناپیوستگی‌های اضافی در تنش و جابه‌جایی می‌شود که این میدان‌ها تحت تأثیر مقاومت هسته‌های کمکی بوده و بنابراین می‌توان به وسیله‌ی تنظیم مقاومت‌های هسته‌های ایجاد‌کننده‌ی این میادین به شرایط مرزی مورد نظر دست یافته. در شکل ۴ چگونگی گسترش میدان تنش و کرنش در اطراف یک مرکز تراکم و یک هسته‌ی کمکی نشان داده شده است.



شکل ۴. چگونگی گسترش میدان تنش و کرنش در لایه‌های با مقاومت متفاوت. a) میدان تنش و کرنش در اطراف یک مرکز تراکم، b) میدان تنش و کرنش در اطراف یک هسته‌ی کمکی (Fokker and Orlic, 2006)

$$\text{surface } (z=0): \sigma_{i3} = 0 \quad (14)$$

$$\text{interfaces } (z = -d_1, \dots, -d_n): \begin{cases} \sigma_{i3} = \text{continuous} \\ u_i = \text{continuous} \end{cases}$$

در این روش از توابع تنش گالرکین جهت فرمول‌بندی و حل معادلات استفاده شده است. با استفاده از بردار گالرکین (\mathbf{F}) جابه‌جایی و تنش برابر است:

$$u_i = 2[1-\nu]\nabla^2 F_i - \partial_i \partial_k F_k \quad (15)$$

$$(16)$$

$$\sigma_{ij} = 2G\{(\nu\delta_{ij}\nabla^2 - \partial_i \partial_j)\partial_k F_k + [1-\nu]\nabla^2(\partial_i F_j + \partial_j F_i)\}$$

در این روش نیز مانند روش (Geertsma 1973) از مراکز تراکم (کرنش) برای نشان دادن مخزن متراکم شده استفاده می‌گردد:

$$F_{center of compression} = kE_0 \log(R + z + d) \quad (17)$$

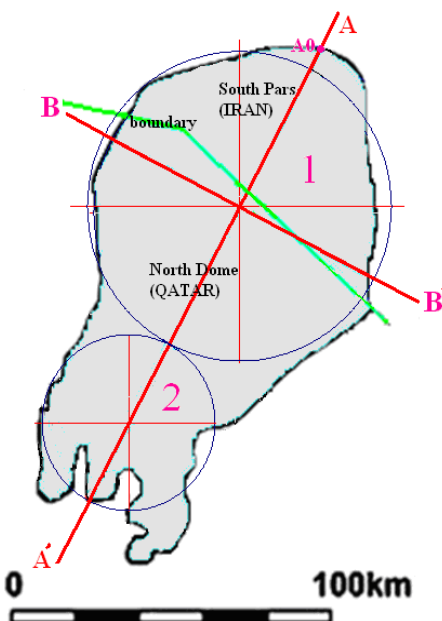
در این رابطه k بردار واحد در جهت محور Z و R فاصله تا مرکز کرنش ($R = \sqrt{x^2 + y^2 + (z+d)^2}$) می‌باشد. برای کره‌ی به حجم dV کاهش فشار ΔP در آن رخ داده است، E_0 برابر است با:

$$E_0 = -\alpha \frac{1-2\nu}{2G(1-\nu)} \frac{dVdp}{4\pi} = -Cm \frac{dV\Delta p}{4\pi} \quad (18)$$

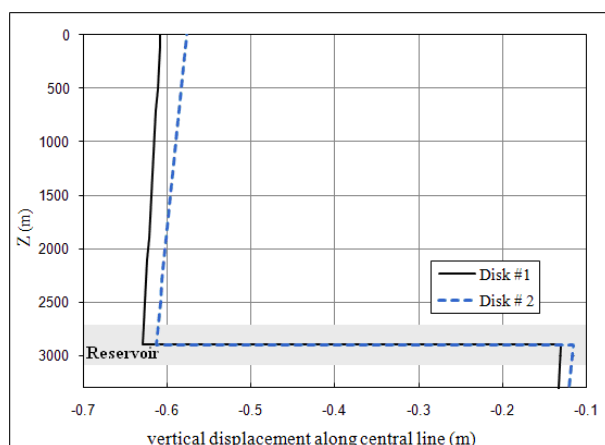
با استفاده از این روابط (۱۶، ۱۷ و ۱۸) می‌توان جابه‌جایی و تنش ایجاد شده اطراف یک مرکز تراکم، واقع در یک فضای سه بعدی نامحدود همگن را محاسبه نمود. ولی در یک محیط نامحدود متشکل از چندین لایه با خصوصیات مکانیکی متفاوت این روابط به تنها یک شرایط مرزی در سطح زمین و فصل مشترک لایه‌ها را برآورده نمی‌کنند. در این روش برای برآورده نمودن شرایط مرزی از مراکز کرنش کمکی که شامل مراکز تراکم، جفت نیرو و مراکز تراکم دو قطبی در جهت محور Z می‌باشد، استفاده می‌گردد:

$$F_{double force} = kB \frac{z+d}{R} \quad (19)$$

$$F_{center of compression} = kE \log(R + z + d) \quad (20)$$



شکل ۵. مخزن پارس جنوبی تقسیم شده به دو مخزن
دیسک شکل



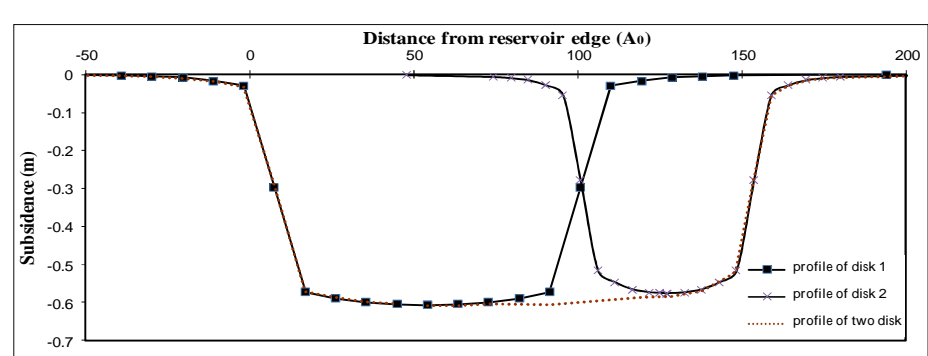
شکل ۶. جابجایی عمودی در امتداد محور میانی با استفاده از
روش Geertsma

برای تعیین مقاومت هسته‌ها، اولین مدل که نتایج آن دارای انحراف از شرایط مرزی مورد نیاز است ایجاد می‌گردد. مقاومت‌های مرکز تراکم مشخص و مقاومت هسته‌های کمکی نامشخص است. چون این مدل خطی است، استفاده از یک روش معکوس بهترین نتایج را در برآورد مقاومت هسته‌های کمکی دارد. در این مدل‌سازی از روش کمترین مربعات جهت تخمین مقاومت هسته‌های کمکی استفاده می‌گردید. روش کمترین مربعات روشنی آماری است که برای حل دستگاه معادلاتی که تعداد معادلات آن بیش از تعداد مجهول‌هاش است، به کار می‌رود. کمترین مربعات در واقع روشنی برای پرازش (Fit) داده‌ها است. در روش کمترین مربعات، بهترین مدل برآذش شده بر مجموعه‌ای از داده‌ها، مدلی است که در آن مجموع مربع مانده‌ها کمینه باشد. منظور از مانده، اختلاف بین داده مشاهده شده و مقداری است که از مدل به دست می‌آید (Wolberg, 2005).

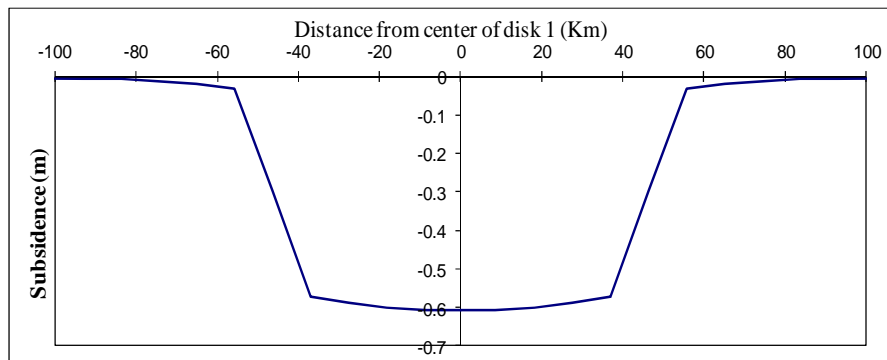
۶. مدل‌سازی فرونشست میدان پارس جنوبی

۶-۱. روش تحلیلی

جهت استفاده روش تحلیلی میدان پارس جنوبی به دو میدان با مخازن دیسک شکل ۱ و ۲ با شعاعی به ترتیب برابر با $46/۶۲$ و $۲۶/۴۵$ کیلومتر تقسیم گردید (شکل ۵). جابجایی عمودی رخ داده در مرکز هر یک از این میدان‌های دیسک شکل با استفاده از رابطه‌ی ۸ محاسبه و نتایج آن در شکل ۶ ارائه شده است.



شکل ۷. نیمرخ جام فرونشست در امتداد خط A-A' با استفاده از روش Geertsma

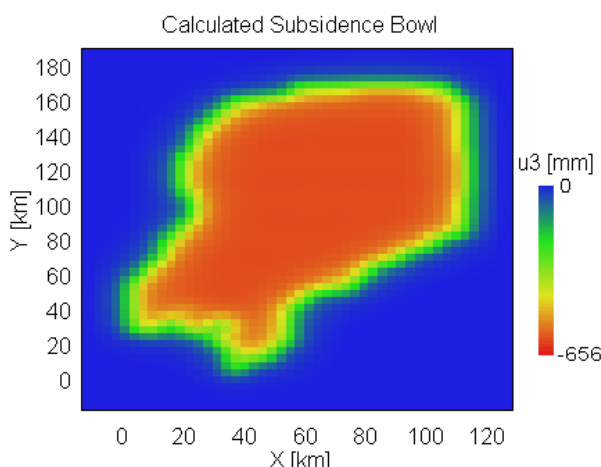


شکل ۸. نیمرخ جام فرونشست در امتداد خط $B-B'$ با استفاده از روش Geertsma

همچنین نیمرخ جام فرونشست در امتداد دو خط $A-A'$ و $B-B'$

(شکل ۶) با استفاده از رابطه‌ی ۱۰ محاسبه و در اشکال ۷ و ۸

ارائه گردیده است.

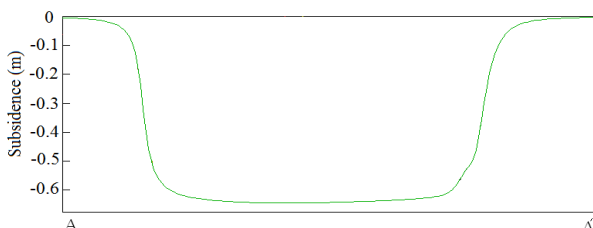


شکل ۱۰. جام فرونشست مدل‌سازی شده در پایان دوره‌ی

برداشت با استفاده از نرم‌افزار AEsubs

۷-۲. روش نیمه تحلیلی

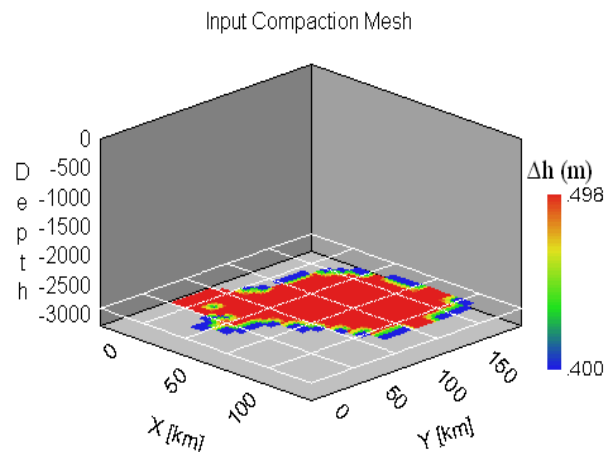
مدل‌سازی نیمه تحلیلی فرونشست میدان پارس‌جنوبی با استفاده از نرم‌افزار AEsubs صورت پذیرفت. در شکل ۹ شبکه تراکم مخزن (که یکی از داده‌های ورودی نرم‌افزار AEsubs می‌باشد)، و در شکل ۱۰ جام فرونشست مدل‌سازی شده با این نرم‌افزار ارائه شده است. نیمرخ جام فرونشست در امتداد خط $A-A'$ مدل‌سازی شده با این نرم‌افزار در شکل ۱۱ نشان داده شده است.



شکل ۱۱. نیمرخ جام فرونشست در امتداد خط $A-A'$ مدل

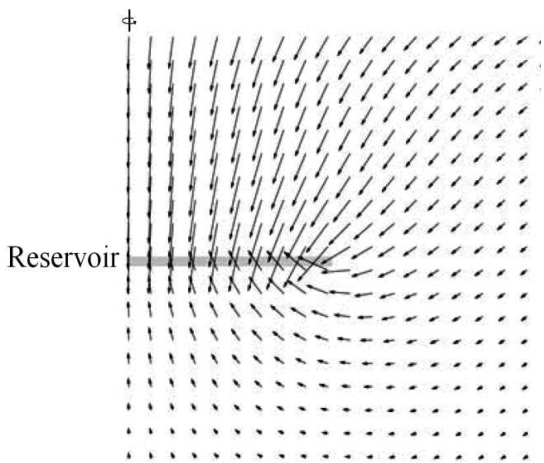
شده با استفاده از نرم‌افزار AEsubs

۳-۵. بررسی و مقایسه نتایج حاصل از دو روش مدل‌سازی بیشینه فرونشست پیش‌بینی شده در پایان دوره‌ی برداشت از میدان پارس‌جنوبی بر اساس روش تحلیلی و روش نیمه تحلیلی به ترتیب برابر با $0/66$ و $0/66$ متر می‌باشد. نتایج حاصل از این دو روش دارای تطابق بسیار بالایی می‌باشند. این

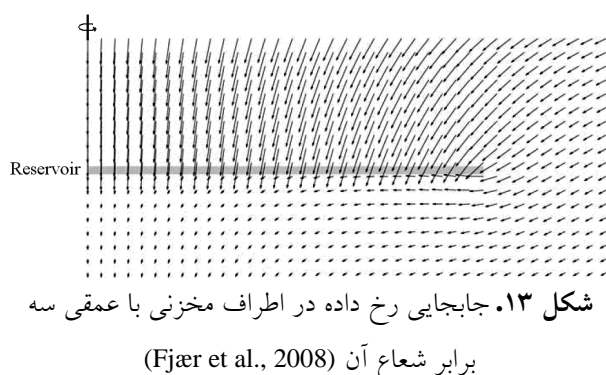


شکل ۹. شبکه تراکم مخزن

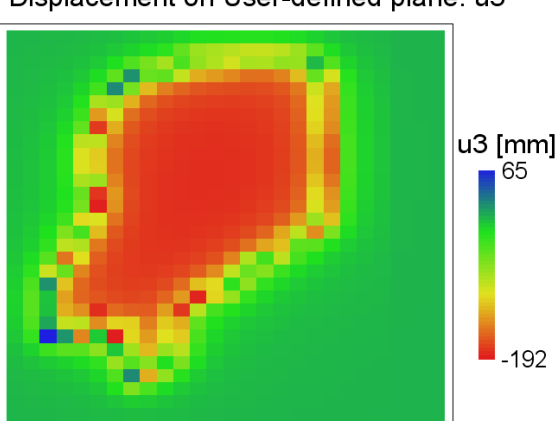
می باشد. همان طور که در شکل ۶ مشاهده می کنید، کف میدان در مرکز دو میدان دیسک شکل ۱ و ۲ به ترتیب بیش از ۰/۱۴ و ۰/۱۲ متر به سمت پایین جابجا خواهد شد. همچنین جابجایی عمودی کف مخزن پارس جنوبی با استفاده از نرم افزار AEsubs مدل سازی و در شکل ۱۴ ارائه گردیده است.



شکل ۱۲. جابجایی رخ داده در اطراف مخزنی با عمقی برابر شعاع آن (Fjær et al., 2008)



شکل ۱۳. جابجایی رخ داده در اطراف مخزنی با عمقی سه برابر شعاع آن (Fjær et al., 2008)



شکل ۱۴. جابجایی عمودی کف مخزن

تطابق را می توان ناشی از یکسانی و همگنی مخزن و وسعت زیاد میدان و شکل هندسی ساده‌ی میدان دانست. وسعت بسیار زیاد میدان اجازه ایجاد قوس‌زدگی تنش در سرباره و انتقال وزن سرباره به کناره‌های مخزن را نداده و در نتیجه تمامی تراکم مخزن بدون ایجاد کاهش قابل توجهی در آن به سطح زمین منتقل خواهد شد. این موضوع به خوبی در شکل ۶ نشان داده شده است. با توجه به یکسان در نظر گرفته شدن خصوصیات سرباره‌ی هر دو میدان، سرباره میدان ۲ با توجه به کوچکتر بودن میدان ۲ نسبت به میدان ۱ اجازه انتقال مقدار کمتری از تراکم مخزن به سطح را داده است. بنابراین می‌توان انتظار داشت که خصوصیات مکانیکی سرباره در میدانی با وسعت میدان پارس جنوبی تأثیر چندانی بر فرونشست میدان نداشته باشد. البته با توجه به عدم داشتن ما از خصوصیات مکانیکی دقیق سرباره و کف مخزن و تغییرات آن‌ها در مدل سازی با نرم افزار AEsubs میدان به صورت یک محیط سه‌الایه شامل سرباره، مخزن و کف مخزن در نظر گرفته شده است و در نتیجه از تمام ظرفیت‌های نرم افزار AEsubs استفاده نگردیده است. نکته جالب در نتایج حاصل از هر دو روش مدل سازی پیش‌بینی مقدار فرونشست بیشتر از مقدار تراکم مخزن می‌باشد. برطبق نظر (Geertsma 1973) دلیل این امر را می‌توان جابه‌جایی کف میدان به سمت پایین دانست. شکل‌های ۱۲ و ۱۳ جابه‌جایی رخ داده در اطراف دو مخزن دیسک شکل با نسبت‌های مختلف R/D را نشان می‌دهد. شکل ۱۲ نشان دهنده‌ی جابه‌جایی رخ داده در اطراف مخزنی با شعاعی برابر عمق آن می‌باشد. همان‌طور که مشاهده می‌کنید بالای مخزن به سمت پایین جابه‌جا شده در حالی که کف مخزن بالا می‌آید، این موضوع موجب ایجاد فرونشستی کمتر از تراکم مخزن می‌گردد. از سوی دیگر همان‌طور که در شکل ۱۳ نشان داده شده هم بالا و هم کف یک مخزن عریض با شعاعی سه برابر عمق آن به سمت پایین جابه‌جا می‌شود و در نتیجه فرونشست ایجاد شده در سطح میدان بیشتر از تراکم مخزن می‌باشد. نتایج حاصل از محاسبه‌ی جابجایی عمودی در امتداد محور میانی با استفاده از روش تحلیلی نیز مؤکد این موضوع

مدل‌سازی انجام گرفته با نرم‌افزار AEsubs ۰/۱۸ به بیش از متر خواهد رسید. بر اساس محاسبات انجام گرفته با استفاده از مدل تحلیلی مقدار جابجایی عمودی کف میدان ۱ و ۲ به ترتیب بیش از ۰/۱۴ و ۰/۱۲ متر پیش‌بینی گردید.

تشکر و قدردانی

در پایان لازم می‌دانیم مراتب تشکر و قدردانی خود را از واحد پژوهش و فناوری شرکت نفت و گاز پارس جهت فراهم نمودن داده‌های مورد نیاز این تحقیق، و جناب دکتر کمپانی و آقای مهندس پرنتالی جهت راهنمایی‌های ارزش‌دهشان به عمل آوریم.

۷. نتیجه‌گیری

۱. میزان تراکم مخزن پارس‌جنوبی در اثر برداشت گاز در پایان دوره‌ی برداشت (در صورت عدم رخداد تغییر شکل پلاستیک و گسیختگی در سنگ مخزن) تقریباً به ۰/۵ متر خواهد رسید.
۲. از دو روش مدل‌سازی فرونشست انجام پذیرفته نتایج تقریباً یکسانی حاصل گردید که بر طبق این نتایج بیشینه فرونشست ایجاد شده در میدان پارس‌جنوبی در پایان دوره‌ی برداشت به بیش از ۰/۶ متر خواهد رسید.
۳. بر اساس نتایج از هر دو روش مدل‌سازی‌های انجام گرفته، میزان فرونشست ایجاد شده در سطح میدان پارس‌جنوبی از میزان تراکم مخزن آن بیشتر بوده که این امر به دلیل جابجایی کف میدان به سمت پایین روی می‌دهد. بیشینه جابجایی عمودی رخداد در کف مخزن بر اساس نتایج حاصل از

منابع

- Atefi Monfared, K., 2009. Monitoring Oil Reservoir Deformations by Measuring Ground Surface Movements, Civil Engineering. University of Waterloo, Ontario, Canada, p. 256.
- Detournay, E., Cheng, A.H.-D., 1993. Fundamentals of Poroelasticity1.
- Fjær, E., Holt ,R., Horsrud, P., Raaen, A., Risnes, R., 2008. Petroleum Related Rock Mechanics. Elsevier Science Publishers B.V., Amsterdam.
- Fokker, P., Orlic, B., 2006. Semi-analytic modelling of subsidence. Mathematical Geology 38, 565-589.
- Fredrich, J.T., Arguello, J., Deitrick, G., Rouffignac, E.d., 2000. Geomechanical modeling of reservoir compaction, surface subsidence, and casing damage at the Belridge diatomite field. SPE Reservoir Evaluation & Engineering 3, 348-359.
- Geertsma, J, 1973. Land subsidence above compacting oil and gas reservoirs. JPT 59 734-744.
- Gurevich, A.E, Chilingarian, G.V, 1995. Chapter 4 Possible impact of subsidence on gas leakage to the surface from subsurface oil and gas reservoirs, in: G.V. Chilingarian, E.C.D., Yen, T.F. (Eds.), Developments in Petroleum Science. Elsevier, pp. 193-213.
- Hermansen, H., Landa, G.H., Sylte, J.E., Thomas, L.K., 2000. Experiences after 10 years of waterflooding the Ekofisk Field, Norway. Journal of Petroleum Science and Engineering 26, 11-18.
- Ketelaar, V.B.H., 2009. Satellite radar interferometry. Springer.
- Kosloff, D., Scott, R.F., Scranton, J., 1980. Finite element simulation of Wilmington oil field subsidence: I. Linear modelling. Tectonophysics 65, 339-368.
- Marte, G., Lloyd, T., Harald, H., Axel, M., Nick, B., Landa, G., 1994. Modelling of the compaction behaviour of fractured chalk. Rock Mechanics in Petroleum Engineering.
- McCann, G.D., Wilts, C.H., 1951. A mathematical analysis of the subsidence in the Long Beach-San Pedro Area. California Institute of Technology.
- Nagel, N., 2001. Compaction and subsidence issues within the petroleum industry: From Wilmington to Ekofisk and beyond. Physics and Chemistry of the Earth, Part A: Solid Earth and Geodesy 26, 3-14.
- Poland, J.F., Lofgren, B.E., Riley, F.S., 1972. Glossary of Selected Terms Useful in Studies of the Mechanics of Aquifer Systems and Land Subsidence Due to Fluid Withdrawal. U.S. Geological Survey, USGS, Wash., D.C.

- Schoustra, S.S., 2004 Bodemdaling Groningen, Analyse van de waterpassingen 1964-2003, Nederlandse Aardolie Maatschappij B.V.
- Settari, A., 2002. Reservoir compaction. JPT 54, 62-69.
- Sroka, A., Hejmanowski, R., 2006. Subsidence prediction caused by the oil and gas development., 3rd IAG Symposium on Geodesy for Geotechnical and Structural Engineering and 12th FIG Symposium on Deformation Measurements, Baden, Austria, p. 8.
- Sulak, R.M., 1991. Ekofisk field: the first twenty years. JPT 43 1265-1271.
- Wolberg, J., 2005. Data analysis using the method of least squares: extracting the most information from experiments. Springer.
- Zeitoun, D.G., Wakshal, E., 2013. Land Subsidence Analysis in Urban Areas: The Bangkok Metropolitan Area Case Study. Springer London, Limited.